

基于 STeC-Stateflow 转换系统的 实时系统仿真与验证方法*

纪政, 李慧勇, 陈仪香[†]

(华东师范大学软件学院 教育部软硬件协同设计技术与应用工程研究中心, 上海 200062)

摘要: 物联网以及信息物理融合系统对形式化建模提出了新的挑战, 引入了实时系统规范语言 STeC, 为刻画实时系统的时空一致性提供了规范语言。针对 STeC 语言建立 STeC 至 Stateflow 自动转换系统, 提出一种基于 STeC 至 Stateflow 转换的仿真及验证方法, 该方法使用 STeC 语言对实时系统进行形式化建模, 再建立实时监控的 Simulink 仿真模型, 并使用 Checkmate 对系统进行安全性验证。通过对京沪高铁运行的实例研究, 表明该方法对高铁运行系统实时仿真的有效性, 并能够验证高铁运行系统的安全性。

关键词: 实时系统; 实时系统规范语言; 时空一致性; 系统仿真与验证; Stateflow; Checkmate

中图分类号: TP301.2 **文献标志码:** A **文章编号:** 1001-3695(2014)02-0448-06

doi:10.3969/j.issn.1001-3695.2014.02.030

Real-time system simulation and verification approach based on STeC to Stateflow transformation system

Ji Zheng, Li Hui-yong, Chen Yi-xiang[†]

(MoE Engineering Center of Software/Hardware Co-design Technology & Applications, Software Engineering Institute, East China Normal University, Shanghai 200062, China)

Abstract: Internet of Things or cyber-physical systems provide a new challenge for formal modeling methods related to the aspect of physical elements such as location and time. Recently, this paper introduced a specification language called STeC to stress the spatio-temporal consistency for real-time systems. The operational and denotational semantics of and tool set related to this language have been given. The aim of this paper was to establish a STeC to Stateflow automatic transformation system and to propose a simulation and verification approach based on this transformation system. It firstly gave a formal model for an object system in STeC language, and then set up a real-time monitoring simulation model using Simulink. After that, it presented a verification approach for the system safety property based on Checkmate. Finally, it gave a case about Jinghu Gaotie (high speed train) running timetable to show that the proposed approach is effect and usable.

Key words: real-time system; specification language for real-time system; spatial-temporal consistence; system simulation and verification; Stateflow; Checkmate

0 引言

物联网以及信息物理融合系统 (cyber physical systems, CPS) 是综合计算、网络、物理环境的多维复杂系统, 具有重要的研究价值和应用意义^[1,2]。

物联网将数以亿计的物理世界对象连接起来, 通过信息技术检测、分析和控制, 潜力巨大^[2]。而 CPS 的核心是 3C 技术, 即计算 (computation)、通信 (communication) 和控制 (control) 之间的有机融合与深度协作^[1]。该系统既包括物理世界的连续变化, 也包括计算机系统的离散状态迁移。

为了对物联网以及 CPS 系统建模, 笔者引入了实时系统规范描述语言 STeC^[3]。STeC 是一种描述物理事件触发的实时系统描述语言, 重点强调实时系统智能体在网络环境下具有

时空一致性的行为。时空一致性强调在指定时间到达指定位置, 同时在指定的时间完成规定的任务。这里的位置概念是物理的空间元素, 时间包括了时刻和时段。

笔者已经建立了 STeC 语言的语义模型^[4], 和基于 Maude 的 STeC 语言形式推理工具^[5]。物联网以及 CPS 系统中的许多领域都具有时空一致性的要求, 如高速列车、城市交通、航空航天等, STeC 语言可以用来描述和分析这种实时系统的时空一致性^[3-5]。

本文的贡献如下:

a) 本文针对实时系统规范语言 STeC, 建立了从 STeC 至 Stateflow 的自动转换系统, 从而可对 STeC 语言的进程进行模型化的表达和分析, 并将 STeC 语言扩展到应用层, 既拥有了形式化规范性, 又保证了模型的可用性。

b) 建立一种基于 STeC 至 Stateflow 自动转换系统的仿真

收稿日期: 2013-06-19; **修回日期:** 2013-08-11 **基金项目:** 国家“973”计划基金资助项目(2011CB302802); 国家自然科学基金资助项目(61202104); 上海高校知识创新工程(085)建设项目

作者简介: 纪政(1989-), 男, 山东曹县人, 硕士研究生, 主要研究方向为软件工程、软硬件协同设计; 李慧勇(1980-), 男, 山西太原人, 博士研究生, 主要研究方向为车联网、CPS 系统; 陈仪香(1961-), 男(通信作者), 江苏徐州人, 教授, 博导, 博士, 主要研究方向为物联网、实时协同规范语言设计、程序语义模型、软件可信度量与评估(yxchen@sei.ecnu.edu.cn)。

及验证方法,将 STeC 语法对应到有限混成自动机 Stateflow,并生成仿真模型和验证模型。形式化验证保证了系统的安全性,而仿真模型是对系统实时监控的有效手段。

c) 通过京沪高铁运行模型实例,说明了基于 STeC 至 Stateflow 自动转换系统的仿真及验证方法的有效性。

本文中使用了 Simulink/Stateflow 和 Checkmate 工具。Stateflow 是基于有限混成自动机的 MATLAB 图形化实现。在当前的软件开发中,对复杂控制逻辑的动态系统,通过使用 MATLAB Simulink/Stateflow 建模方法,可以建立相应的系统仿真模型^[6]。结合 Simulink Coder 和 Stateflow Coder 自动代码生成技术,可以将软件应用至实际大型复杂控制系统。但单纯的 Simulink/Stateflow 仿真模型需要人工干预,缺乏理论推理,不能保证系统的安全性。

Checkmate 是一种基于 MATLAB 的混成自动机的形式化验证工具,也适合于物联网以及 CPS 系统的形式化验证^[7]。Checkmate 工具箱中含有切换连续系统模块 SCSB、多面体阈值模块 PTHB、混成状态机模块 FSMB 等。该验证工具支持连续状态下的线性 and 非线性状态方程,而混成状态自动机处理离散状态的变迁,输出连续状态变量,从而可对混成系统建模^[8]。

Checkmate 自动验证时,将图形表示的混成自动机模型转换成多面体不变集混成自动机(PIHA)。之后对连续变量的状态空间进行划分,并通过流管道近似技术,得到系统的可达集。最后使用 CTL(计算树逻辑)逻辑语言对系统进行形式化的模型验证。但 Checkmate 和 Simulink/Stateflow 都没有考虑实时系统的时空一致性。本文在上述工具的基础上设计基于 STeC 至 Stateflow 自动转换系统的仿真及验证方法,较好地解决了上述问题。

本文简单介绍 STeC 语言,建立了 STeC 至 Stateflow 的自动转换系统和仿真验证方法,并以京沪高铁 G147、G39、G17 高速列车运行为例,说明本文所建立的方法的有效性和实用性。

1 STeC 语言

1.1 语法

STeC 语言看起来像是形式化描述语言 CSP 和 CCS 的扩展,它的语法描述了进程(process),其中包括了动作 α 、状态 β 和通信机制。

$$\begin{aligned} A:: &= \text{Send}_{(l,t)}^{G \rightarrow G'}(m, \delta) \mid \text{Get}_{(l,t)}^{G \leftarrow G'}(m, \delta) \\ B:: &= \alpha_{(l,t)}^G(l', \delta) \mid \beta_{(l,t)}^G(\delta) \\ P:: &= \text{Stop}_{(l,t)} \mid \text{Skip}_{(l,t)} \mid A \mid B \mid P; P \mid \\ & \quad []_{(i \in I)}(B_i \rightarrow P_i) \mid P \triangleright_{\delta} P \mid \\ & \quad P \triangleleft (\text{Get}_{(l,t)}^{G \leftarrow G'}(m) \rightarrow Q) \mid P \parallel P \end{aligned}$$

智能体之间的通信通过两个原子通信进程 Send 和 Get 实现。原子进程 $\text{Send}_{(l,t)}^{G \rightarrow G'}(m, \delta)$ 定义了智能体 G 在位置 l 和时间 t 发送消息 m 给智能体 G' ,该动作消耗 δ 单位时间。与之类似, $\text{Get}_{(l,t)}^{G \leftarrow G'}(m, \delta)$ 原子进程定义了智能体 G 在位置 l 和时间 t ,智能体 G 收到消息 m ,并花费 δ 单位时间。

对于每个智能体,本文定义了其动作 α 和状态 β 。

动作指的是智能体执行任务。 $\alpha_{(l,t)}^G(l', \delta)$ 表示智能体 G 在位置 l 和时间 t 执行动作 α ,消耗 δ 单位时间,执行动作之后智能体的新位置为 l' 。因此,执行动作将改变智能体的时间和位置。 $\beta_{(l,t)}^G(\delta)$ 表示智能体 G 在位置 l 和时间 t 开始处于状态

β ,并保持状态 δ 单位时间。

进程 $\text{Stop}_{(l,t)}$ 表示如果不被打断将一直执行,而 $\text{Skip}_{(l,t)}$ 进程不消耗时间。Send 和 Get 原子操作的时间由智能体情况决定。

B_i 在卫士选择进程 $[]_{i \in I}(B_i \rightarrow P_i)$ 中表示卫士条件。STeC 语言要求只有一个卫士条件为真,选择进程选择该条件并执行相应的 P_i 。

延时进程 $P \triangleright_{\delta} Q$ 表示进程 P 执行 δ 单位时间,之后跳转到 Q 进程。交互进程 $P \triangleleft (\text{Get}_{(l,t)}^{G \leftarrow G'}(m) \rightarrow Q)$ 表示智能体首先执行进程 P ,当 $\text{Get}_{(l,t)}^{G \leftarrow G'}(m, \delta)$ 为真时,打断 P ,执行 Q 进程。而并行进程 $P \parallel Q$ 表示进程 P 和 Q 独立执行。

本文使用的 STeC 至 Stateflow 自动转换也是基于上述 STeC 的语法进行解析。

1.2 执行时间

根据 STeC 语法,定义 STeC 进程的执行时间如下所示。其中进程 P 的执行时间使用 $\tau(P)$ 表示。

$$\begin{aligned} \tau(\text{Stop}_{(l,t)}) &= \infty \quad \tau(\text{Skip}_{(l,t)}) = 0 \\ \tau(\text{Send}_{(l,t)}^{G \rightarrow G'}(m)) &= \tau(\text{Send}) \\ \tau(\text{Get}_{(l,t)}^{G \leftarrow G'}(m)) &= \tau(\text{Get}) \\ \tau(\alpha_{(l,t)}^G(l', \delta)) &= \delta \quad \tau(\beta_{(l,t)}^G(\delta)) = \delta \\ \tau(P \triangleright_{\delta} Q) &= \delta + \tau(Q) \quad \tau(P; Q) = \tau(P) + \tau(Q) \\ \tau(P \parallel Q) &= \max\{\tau(P), \tau(Q)\} \\ \tau([]_{(i \in I)}(B_i \rightarrow P_i)) &= \max_{i \in I}\{\tau(B_i) + \tau(P_i)\} \\ \tau(P \triangleleft (\text{Get}_{(l,t)}^{G \leftarrow G'}(m) \rightarrow Q)) &= \tau(P) + \tau(\text{Get}) + \tau(Q) \end{aligned}$$

其中,并行进程当所有子进程都结束时才结束。STeC 语言的动作均消耗时间,这点和有限混成自动机不同。本文根据 STeC 的执行时间,规定混成自动机的状态持续时间。

2 STeC 至 Stateflow 转换系统

2.1 自动转换系统

使用 STeC 语言的形式化描述规范而清晰,并可以满足时空一致性的要求。而使用混成状态自动机的模型可以直观地反映系统的状态迁移变化。Stateflow 是一种在业界广泛使用并认可的有限混成自动机工具,利用 MATLAB 的配套仿真器,十分便捷地实现实时仿真和 C 代码的生成。

本文将 STeC 语言的语法和有限混成自动机建立对应规则,并用 Stateflow 工具自动实现转换。首先给出从 STeC 语法公式生成 Stateflow 状态的规则。

规则 1 STeC 进程均由基本进程构成,每个基本进程和一个状态图对应,基本进程之间可以转移、触发和嵌套。

规则 2 有限状态机初始时,自动调用 Start 迁移至初始状态。有限状态机的进程执行完毕后进入正常终止状态,表示执行顺利完成。对应于 STeC 的 E 进程。

规则 3 有限状态机的状态迁移使用条件迁移和事件触发两种,条件迁移的谓词都使用时间和空间条件与 STeC 对应,事件触发对应 STeC 的 Send 和 Get 原子进程。

规则 4 有限状态机的同一状态迁移不能有多处于智能状态,状态迁移全部为立即迁移,使用状态表示 STeC 的延迟迁移动作。

规则 5 表示 STeC 延迟迁移动作的有限自动机状态使用 STeC 的执行时间(2.2 节)表示状态持续时间。

基本公式转换表如表 1 所示,每个 STeC 语法中的基本公式进程(process)对应一个子状态图。

表 1 STeC 及有限混成自动机基本公式转换

STeC 语法	有限混成自动机
$Send_{(l,t)}^{G'}(m,\delta)$	
$Get_{(l,t)}^{G'}(m,\delta)$	
$\alpha_{(l,t)}^C(I',\delta)$	
$\beta_{(l,t)}^C(\delta)$	
$Stop_{(l,t)}$	
$Skip_{(l,t)}$	
$P;P$	
$[]_{(i \in 1)}(B_i \rightarrow P_i)$	
$P \triangleright_{\delta} P$	
$P \triangleright Get_{(l,t)}^{G'}(m) \rightarrow Q$	
$P \parallel P$	

其中,原子动作 Send 和 Get 表示通过迁移决策的逻辑判断时间 t 和位置 l ,并通过时间 δ 完成该动作。这里使用了三个状态代替这两个原子动作,并使用了事件 m 立即触发。

卫士选择进程表示 B_1, B_2, \dots, B_i 中有且只有一个为真,执行 B_i 也需花费相应的时间,当 B_i 成立时执行 P_i 。因此在状态自动机中设置 B_i 也为状态,并可以设置相应的时间。

并发进程表示两个进程独立执行,进程之间不考虑通信关系。延迟进程显式地指定进程 P 推迟 δ 时间,而规定推迟时间在原进程 P 中完成。

除该表所示的对应规则之外,还加入了默认迁移,即设定条件为假或事件未发生的状态都有一个通向状态的默认迁移。转换过程中还生成了相应的数据对象、事件对象、反馈控制对象、时间空间对象等。

进行语言转换时,对 STeC 语言的每条公式进行词法和语法解析,得到 STeC 语法树,根据语法树结构将公式转换为 STeC 进程(process)中对应的元素,对这些元素利用转换规则,生成相应的状态图,并可以根据 STeC 语言的语法关系合成相应的子状态图。生成状态图时使用了 Stateflow API 进行代码自动化。

通过 STeC 至 Stateflow 的自动转换系统,输入 STeC 形式化语言,自动输出 Stateflow 模型,从而可以对 STeC 语言的进程进行模型化的分析,并将 STeC 语言扩展到应用层,既拥有了形式化规范性,又保证了模型的可用性。

2.2 STeC 至 Stateflow 仿真及验证方法

本节从形式化体系结构角度出发,考虑到物联网以及 CPS 系统的实时性和时空一致性,在使用时空一致的 STeC 语言形式化描述的基础上,将其语法对应到有限混成自动机 Stateflow,表达物联网以及 CPS 系统的状态及其迁移,并生成仿真模型和验证模型。其中 Simulink 物理仿真模型由 IP 核和 STeC 语言提供的特征生成。而 Stateflow 模型可以使用 Checkmate 验证器对系统的安全性等进行形式化验证。基本构架如图 1 所示,其中,IP 核针对不同的物理环境提供不同的微分方程。

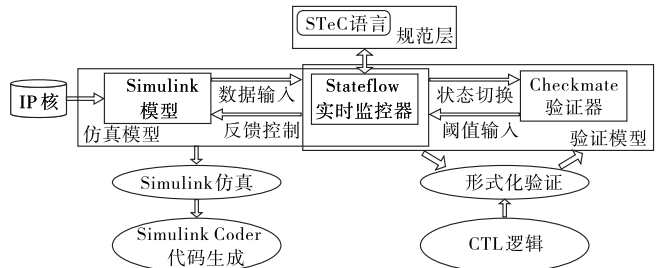


图 1 STeC 至 Stateflow 仿真验证方法

Stateflow 混成自动机是本方法中的实时监控器,其接受 Simulink 的辅助变量,加以反馈控制,并可以对 Stateflow 模型进行时空一致性质验证。

由 Simulink 和 Stateflow 共同构成的系统模型可以在 MATLAB 环境下实时仿真,而最终可以通过 Simulink/Stateflow Coder 生成 C 语言代码。

利用 STeC 至 Stateflow 自动转换系统,将 Checkmate 中混成状态机模块 FSMB,使用 STeC 规范描述得到的 Stateflow 状态机表示,从而可以保证 CPS 系统的时空一致性,且更便捷地对 CPS 系统形式化建模,并使用 Checkmate 进行模型验证,具有较强的应用价值,其中形式化验证使用 CTL 逻辑描述安全性性质。

3 案例分析

列车运行的安全性和准时性一直是研究的重点。随着列车运行速度的提高,300 km/h 高速列车的运行特点与普通列车有很大不同^[9-11]。本章将选用高速列车 CRH-3 型进行分析,使用时空一致语言 STeC 进行形式化建模,并利用基于 STeC 至 Stateflow 转换的方法,进行仿真和验证。

3.1 STeC 语言形式化描述

G147、G39、G17 三列高速列车北京至上海段运行时刻图如图 2 所示。首先使用 STeC 语言进行形式化描述。高速列车 G147 运行过程如下:

- Running_(Beijing,14:36) (Tianjin, 34m); TStop_(Tianjin,15:10) (2m);
- Running_(Tianjin,15:12) (Jinan, 63m); TStop_(Jinan,16:15) (2m);
- Running_(Jinan,16:17) (Zaozhuang, 50m); TStop_(Zaozhuang,17:07) (1m);
- Running_(Zaozhuang,17:08) (Xuzhou, 18m); TStop_(Xuzhou,17:26) (2m);
- Running_(Xuzhou,17:28) (Nanjing, 74m); TStop_(Nanjing,18:42) (4m);
- Running_(Nanjing,18:46) (Wuxi, 44m); TStop_(Wuxi,19:30) (6m);
- Running_(Wuxi,19:36) (Shanghai, 28m); Arrive_(Shanghai,20:04) (5m)。

其中:Running 为 STeC 语言的动作,TStop 为状态。

G147:				
北京	34 m	天津	63 m	济南
α^∞	$\xrightarrow{122 \text{ km}}$	$\alpha 15:10$	$\xrightarrow{284 \text{ km}}$	$\alpha 16:15$
d14:36		d15:12		d16:17
	50 m	枣庄	18 m	徐州
	$\xrightarrow{221 \text{ km}}$	$\alpha 17:07$	$\xrightarrow{65 \text{ km}}$	$\alpha 17:26$
		d17:08		d17:28
	44 m	无锡	28 m	上海
	$\xrightarrow{187 \text{ km}}$	$\alpha 19:30$	$\xrightarrow{108 \text{ km}}$	$\alpha 20:04$
		d19:36		d ∞
G39:				
北京	51 m	沧州	46 m	济南
α^∞	$\xrightarrow{210 \text{ km}}$	$\alpha 15:44$	$\xrightarrow{196 \text{ km}}$	$\alpha 16:36$
d14:53		d15:50		d16:38
	63 m	徐州	75 m	南京
	$\xrightarrow{286 \text{ km}}$	$\alpha 17:41$	$\xrightarrow{331 \text{ km}}$	$\alpha 18:58$
		d17:48		d19:00
	41 m	昆山	17 m	上海
	$\xrightarrow{180 \text{ km}}$	$\alpha 20:01$	$\xrightarrow{50 \text{ km}}$	$\alpha 20:20$
		d20:03		d ∞
G17:				
北京	92 m	济南	133 m	南京
α^∞	$\xrightarrow{406 \text{ km}}$	$\alpha 16:32$	$\xrightarrow{617 \text{ km}}$	$\alpha 18:47$
d15:00		d16:34		d18:52
	67 m	上海		
	$\xrightarrow{295 \text{ km}}$	$\alpha 19:59$		
		d ∞		

图 2 三列高速列车运行时刻图

其他两列高速列车的 STeC 语言形式化描述与之类似。

高速列车 G39:

Running_(Beijing,14;53) (Cangzhou, 51m); TStop_(Cangzhou,15;44) (6m);
 Running_(Cangzhou,15;50) (Jinan, 46m); TStop_(Jinan,16;36) (2m);
 Running_(Jinan,16;38) (Xuzhou, 63m); TStop_(Xuzhou,17;41) (2m);
 Running_(Xuzhou,17;43) (Nanjing, 75m); TStop_(Nanjing,18;58) (2m);
 Running_(Nanjing,19;00) (Zhenjiang, 19m); TStop_(Zhenjiang,19;19) (1m);
 Running_(Zhenjiang,19;20) (Kunshan, 41m); TStop_(Kunshan,20;01) (2m);
 Running_(Kunshan,20;03) (Shanghai, 17m); Arrive_(Shanghai,20;20) (5m)。

高速列车 G17:

Running_(Beijing,15;00) (Jinan, 92m); TStop_(Jinan,16;32) (2m);
 Running_(Jinan,16;34) (Nanjing, 133m); TStop_(Nanjing,18;47) (5m);
 Running_(Nanjing,18;52) (Shanghai, 67m); Arrive_(Shanghai,19;59) (5m)。

3.2 高速列车运行模型

3.2.1 牵引过程

牵引力由列车产生,是列车前进的动力。牵引力的大小主要由运行速度决定。本文使用文献[10]的牵引力曲线。牵引力 F_R (N) 与列车速度 v (km/h) 的关系为

$$\begin{cases} F_R = -0.4222 \times v + 514.5314 & 146.6 > v \geq 0 \\ F_R = \frac{9250 \times 3.8}{v} & 400 \geq v \geq 146.6 \end{cases} \quad (1)$$

3.2.2 制动过程

制动力是人为地控制列车速度的阻力。高速列车制动力一般包括再生制动力和空气制动力。列车制动优先采用再生制动,当列车速度较低时,切换为空气制动。再生制动的制动力 F_D (N) 与列车速度 v (km/h) 的关系为

$$\begin{cases} F_D = \frac{9250 \times 3.6}{v} & 400 \geq v \geq 160 \\ F_D = 185.25 & 160 > v \geq 0 \end{cases} \quad (2)$$

空气制动的制动力 F_A (N) 与列车速度 v (km/h) 的关系为

$$F_A = M(1+r)\beta \quad (3)$$

其中: M 为列车的质量(t); β 为列车的减速度(m/s^2); r 为列车的回转系数,一般取 0.06。

3.1 节的 Running_(Beijing,14;36) (Tianjin, 34m) 动作表示了 G147 高速列车从北京到天津段的运行过程。可以根据上述列车运行模型,将这段过程细化为五个阶段,并使用 STeC 描述。其中, $T_1 + T_2 + T_3 + T_4 + T_5 = 34m$ 。

Running_(Beijing,14;36) (Tianjin, 34m) 转换为

RunningRise1_(Beijing,14;36) (D_1, T_1);
 RunningRise2_(D_1,14;36+T_1) (D_2, T_2);
 RunningConstant_(D_2,14;36+T_1+T_2) (D_3, T_3);
 RunningDown1_(D_3,14;36+T_1+T_2+T_3) (D_4, T_4);
 RunningDown2_(D_4,14;36+T_1+T_2+T_3+T_4) (Tianjin, T_5)。

从 RunningRise1 到 RunningDown2 的每个动作代表了一段列车运行方程。同理,其他的每个 Running 动作均可分为五个阶段。

本文选用 CRH-3 型的高速列车进行具体分析。其中,列车为八节编组,四动四拖。最大牵引力功率为 8250 W,最大再生制动力功率为 8250 W。列车的质量为 686 t,设计时速为 400 km/h,实际运行限速为 300 km/h。

本文针对 STeC 描述的列车运行模型,对应京沪高铁 G147、G39、G17 三列列车的北京至上海段,使用 STeC 至 Stateflow 转换方法进行分析。

3.3 仿真实验

下面针对 G147 高速列车使用 STeC 至 Stateflow 转换方法对 STeC 语言描述进行处理。另两辆列车的转换过程类似。

3.3.1 STeC 至 Stateflow 自动转换

首先利用自动转换,使用 Stateflow 工具表示 STeC 描述的 G147 高速列车运行模型如图 3 所示。

使用 G147 运行时刻图中各站之间的里程和时间,数字化 STeC 语言的描述。该 Stateflow 模型的时间 time 单位为 s,距离 distance 单位为 km。

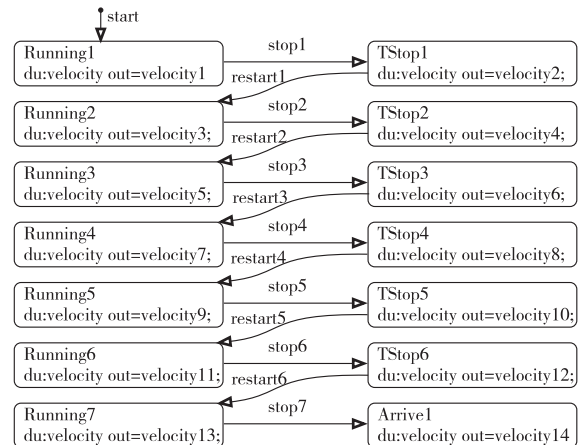


图 3 G147 运行过程模型 Stateflow 表示图

根据 STeC 至 Stateflow 转换规则,将 Running 和 TStop 转换为对应的状态,并使用状态迁移对应 Running、TStop、Arrive 之间的顺序算子。状态之间的迁移使用事件 event 触发的形式表示,而事件的触发满足谓词表述如表 2 所示,体现了 STeC 语言时空一致性的特点,即当在指定时间到达指定位置时,才能进行状态的切换,否则不切换。

表 2 G147 列车运行 STeC 至 Stateflow 事件谓词对应

事件	谓词表述
start	[time == 0]
stop1	[(time == 2040) & (distance1 ≥ 122 - e) & (distance1 ≤ 122 + e)]
restart1	[time ≥ 2160]
stop2	[(time == 5940) & (distance3 ≥ 284 - e) & (distance3 ≤ 284 + e)]
restart2	[time ≥ 6060]
stop3	[(time == 9060) & (distance5 ≥ 221 - e) & (distance5 ≤ 221 + e)]
restart3	[time ≥ 9120]
stop4	[(time == 10200) & (distance7 ≥ 65 - e) & (distance7 ≤ 65 + e)]
restart4	[time ≥ 10320]
stop5	[(time == 14760) & (distance9 ≥ 331 - e) & (distance9 ≤ 331 + e)]
restart5	[time ≥ 15000]
stop6	[(time == 17640) & (distance11 ≥ 187 - e) & (distance11 ≤ 187 + e)]
restart6	[time ≥ 18000]
stop7	[(time == 19680) & (distance13 ≥ 108 - e) & (distance13 ≤ 108 + e)]

如表 2 所示,由 Running 到 TStop 和 Arrive 的状态迁移: stop1 ~ stop7 必须满足运行时间 time 和运行距离 distance 的双重要求。这里允许模型的运行距离有误差,用 e 表示,这里选取 e = 1。为了计算方便,这里以第一列高速列车 G147 的发车时间为起始时间,以秒为单位,将时刻时间转换为时段时间。

由 TStop 到 Running 的状态迁移: restart1 ~ restart6 必须满足运行时间 time 的要求,由于 TStop 是 STeC 的状态,在 STeC 中状态不涉及位置变化,所以对应这里没有运行距离的要求。

这里再对 G147 北京天津段的 STeC 细化表示使用 STeC 至 Stateflow 自动转换。结果如图 4 所示。

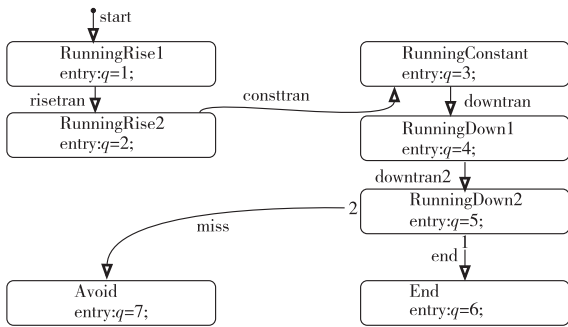


图 4 G147 北京天津段的细化 Stateflow 表示图

这里加入 Avoid 状态,当列车不能按时准确到达车站时,触发 miss 事件,进入该状态。正常到达时触发 end 事件,进入 End 状态。此图的状态变迁形式与上例相似,不再赘述。

3.3.2 仿真模型

根据上述 STeC 至 Stateflow 转换,采用 G147 运行过程的 Stateflow 模型(图 3)作为仿真模型的实时监控器,并建立 Stateflow-Simulink 模型。其中,每个 Running、TStop 或 Arrive 对应一个 Simulink 模块,模块由输入的 M 文件计算该段的即时速度和路程。

M 文件中包含了由运行模型的式(1)~(3)构成的微分方程和起止时间、位置等信息。

Simulink 模块将输入数据传递给 Stateflow 实时监控器。由 Stateflow 监控器控制仿真模型的输出结果。

为了方便图形显示,仿真验证的时间单位均为 10 s,速度单位为 m/s,距离单位为 km。

仿真结果如图 5 和 6 所示。

图 5 和 6 的仿真结果与列车运行模型一致。图 6 的曲线反映了三列高速列车交互的情况,其中高速列车 G17 对另两

列分别停靠沧州站和无锡站的列车进行超越,保证了运行的安全性。该仿真结果符合了列车运行的客观规律,并且较好地满足了时空一致性的要求,可以较好地保证列车准点到达。其中仿真运行拥有较高的精度,时间误差小于 1 s,路程的误差小于 1 km,能够满足工程实际应用的要求。

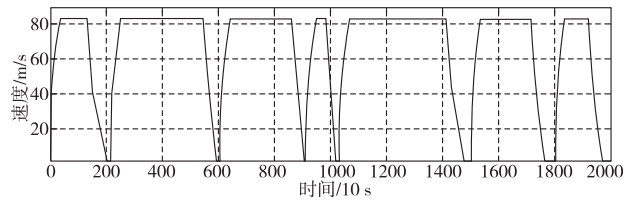


图 5 G147 列车仿真速度—时间曲线

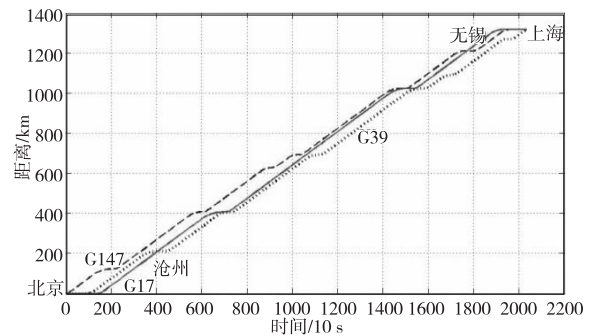


图 6 三列列车仿真路程—时间曲线

3.3.3 验证模型

基于 G147 运行过程的 Stateflow 模型的上述仿真模型较好地反映了列车运行过程,但对于形式化验证,该模型仍需精化。

下面将高速列车 G147 北京至上海段按停靠站分为:a)北京至天津段;b)天津至济南段;c)济南至枣庄段;d)枣庄至徐州段;e)徐州至南京段;f)南京至无锡段;g)无锡至上海段。对每段分别使用细化 STeC 语言描述的 Stateflow 模型和 Checkmate 工具验证模型的安全性,从而说明整体的安全性。

下面针对北京至天津段进行分析,建立 Checkmate 模型如图 7 所示。其他段的过程类似。

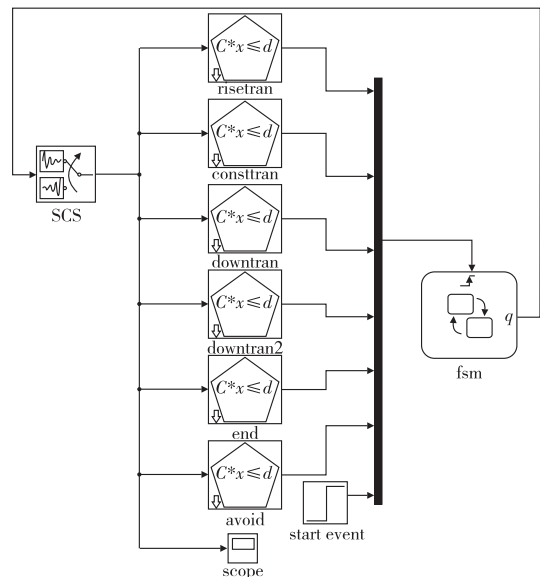


图 7 Checkmate 验证模型

其中:SCS 模块反映模型的连续状态变量情况,并通过 fsm 模块的输入切换连续状态;PTHB 模块 risetran、consttran 等分别为系统建立切换面,并使用线性约束方程表示不变集的状态空间;fsm 模块即图 4 的细化 Stateflow 模型,可以根据上升或下降

沿两种触发方式反映事件 event 的信号。

Checkmate 可以通过 verify 对该验证模型进行形式验证。

本文定义该列车运行模型的安全性为列车运行准确到达指定地点,不发生过站或不能到达的情况,并使用 CTL 公式

$$(AG \sim fsm == avoid) \& (AG \sim out_of_bound)$$

对系统的安全性进行验证。

该公式表示该系统永远不会到达 avoid 的离散状态,并且状态变量永远不会偏离规定集。这里设定规定集为距离和时间均大于等于 0。

从图 8 的验证结果可知:系统验证在经过初始划分后得到的迁移系统可达集,满足 CTL 逻辑描述的规范,即从初始区域出发,系统经过 Stateflow 控制器之间的有限次切换,最终到达的状态总是状态 End,并且不会超过规定集。高铁运行北京至天津段模型满足了安全性要求。而同理可以验证,在 G147 的各行驶段的运行模型均满足该安全性。所以说明了整体的安全性。

```

Parsing specification 1:(AG ~out_of_bound)&(AG ~fsm == avoid)
Compiling list of atomic propositions;(AG ~out_of_bound)&(AG ~fsm == avoid)
* out_of_bound
* fsm_in_avoid
Making refinement decision.
System never enters the state "avoid"
total verification time is 943.34 seconds.

```

图 8 Checkmate 验证结果

4 结束语

形式化描述语言 STeC,描述物理元素触发的实时系统。STeC 语言重点强调实时系统智能体在网络环境下具有时空一致性的行为。

本文针对 STeC 形式化语言的语法,使用有限混成自动机的图形化工具 Stateflow 对 STeC 进行逻辑解释,并基于该转换建立实时监控器仿真模型和形式化验证模型。通过京沪高铁

的例子说明该方法的有效性和合理性,并对 STeC 描述进行安全性验证。

下一步工作包括动态调控仿真模型和提供更多的属性进行形式验证。

参考文献:

- [1] 何积丰. 信息物理融合系统[J]. 中国计算机学会通讯, 2010, 6(1): 25-29.
- [2] 武建佳,赵伟. WInternet:从物网到物联网[J]. 计算机研究与发展, 2013, 50(6):1127-1134.
- [3] CHEN Yi-xiang. STeC: a location-triggered specification language for real-time systems[C]//Proc of the 15th IEEE International Symposium on Object/Component/Service- Oriented Real- Time Distributed Computing. 2012:1-6.
- [4] WU Heng-yang, CHEN Yi-xiang, ZHANG Min. On denotational semantics of spatial-temporal consistence language STeC[C]//Proc of the 7th International Symposium on Theoretical Aspects of Software Engineering. 2013:113-120.
- [5] 栾天骄,陈仪香,王江涛. 实时系统规范语言 STeC 的 Maude 重写系统[J]. 计算机工程, 2013, 39(10):57-62,67.
- [6] 陶继平,徐文艳,杨根科,等. 基于 Stateflow 的 Petri 网仿真方法[J]. 计算机仿真, 2006, 23(12):96-99.
- [7] CLARKE E M, FEHNER A, HAN Zhi, et al. Verification of hybrid systems based on counter example-guided abstraction refinement [C]//Proc of the 9th International Conference on Tools and Algorithms for the Construction and Analysis of Systems. 2003:192-207.
- [8] 方敏,张雅顺,李辉. 混成系统的形式验证方法[J]. 系统仿真学报, 2006, 18(10): 2921-2928.
- [9] 唐金全,周磊山,佟路,等. 单列高速列车运行仿真模型与算法[J]. 中国铁道科学, 2012, 33(3): 109-115.
- [10] 唐金全,周磊山,佟路,等. 基于 Bezier 函数的列车特性曲线数据处理方法研究[J]. 交通运输系统工程与信息, 2011, 11(3): 131-137.
- [11] 上官伟,蔡伯根,王晶晶,等. 时速 250 km 以上高速列车制动模式曲线算法[J]. 交通运输工程学报, 2011, 11(3): 41-46.

下期要目

- ❖ 网域空间电子身份管理方案研究
- ❖ 无线传感器与执行器网络中协同通信研究综述
- ❖ 微处理器可靠性 AVF 评估方法研究综述
- ❖ 计算排序算法设计与分析
- ❖ 人工鱼群—粒子群混合算法优化进港航班排序
- ❖ 公平席位分配问题在遗传选择操作中的应用
- ❖ 基于改进混沌粒子群的混合核 SVM 参数优化及应用
- ❖ 一种改进的多目标粒子群优化算法及其应用
- ❖ 求解工程结构优化问题的改进布谷鸟搜索算法
- ❖ 基于绝对贪心和预期效率的 0-1 背包问题优化
- ❖ 一种基于小波变换和 ARIMA 的短期电价混合预测模型
- ❖ 旅游客流量预测:基于季节调整的 PSO-SVR 模型研究
- ❖ 面向在线社区用户的群体推荐算法研究
- ❖ 基于隐主题分析的中文微博话题发现
- ❖ 最大距离法选取初始簇中心的 K-means 文本聚类算法的研究

- ❖ 压缩 UF-tree 挖掘不确定数据频繁项
- ❖ 基于 DBLP 数据的多维异质网络 Graph OLAP 设计与实现
- ❖ 一种不确定数据集上频繁模式挖掘的近似算法
- ❖ 基于属性集合聚集的区间概念格的渐进式生成算法
- ❖ 丹顶鹤繁殖地气候数据特征的聚类分析
- ❖ 基于数据重构的宽带相干源 MVDR 算法
- ❖ 基于小波自适应阈值的语音信号去噪新方法
- ❖ 基于移动网络信令的区域人群属性分析的研究与应用
- ❖ 一种网络社团划分的评价及改进方法
- ❖ 一种全局较优的静态任务调度算法
- ❖ 图的点可区别染色算法研究
- ❖ 真实信息发布在谣言传播中的作用研究
- ❖ 多传感信息融合的改进扩展卡尔曼滤波定姿
- ❖ 基于自回避开行走数值模拟的并行计算
- ❖ 双渠道供应链中服务对定价和需求的影响研究
- ❖ 具有随机耦合强度两个复杂网络的自适应同步
- ❖ 基于 GPU 的混沌弱信号检测临界阈值确定